УДК 637.116.5

ВАКУУМНЫЙ УПРАВЛЯЕМЫЙ ПУЛЬСАТОР СТОЙЛОВОГО ДОИЛЬНОГО АВТОМАТА

Винников И.К., Бахчевников О.Н.

Северо-Кавказский научно-исследовательский институт механизации и электрификации сельского хозяйства. г. Зерноград. Россия

В настоящее время зарубежом завершена автоматизация доения коров и проводится его роботизация. Главная причина нашего отставания в этой сфере заключается в привязном содержании, охватывающем большую часть поголовья. Проблема может быть решена путем создания и внедрения стойловых доильных автоматов. Поэтому их исследование и разработка являются актуальными.

Существующие доильные аппараты не соответствуют предъявляемым к ним физиологическим требованиям. По мнению ученых-физиологов каждому значению интенсивности молоковыведения должно соответствовать свое значение частоты пульсаций и соотношения тактов, а также величины вакуума под соском [2, 3]. В процессе доения соотношение тактов должно плавно изменяться от 1:1 до 4:1, частота пульсаций от 0,8 до 2,2 Гц, величина вакуума под соском от 22 до 45 кПа. Выполнить эти требования может только управляемый доильный аппарат с автоматическим регулированием параметров в зависимости от интенсивности и фазы молоковыведения.

Основным узлом доильного аппарата является пульсатор – генератор переменного вакуума, управляющая камера которого – инерционное звено, которое может служить узлом управления доильного автомата. Переходные характеристики управляющей камеры представляют собой восходящие и нисходящие экспоненты. Исследованиями вакуумного пульсатора была установлена релейная сущность его работы по гистерезисной петле с характерными для реле точками срабатывания $P_{\rm cp}$ и отпускания $P_{\rm ot}$ [1]. На основе полученных знаний была сформулирована гипотеза, предполагающая, что рабочий процесс пульсатора осуществляется не произвольно, а по гистерезисной характеристике, как по алгоритму, включающему конечный набор правил со строго определенными параметрами, которыми можно управлять по сигналам датчика интенсивности молоковыведения.

В результате исследований [2, 3] был сделан вывод о том, что плавное изменение параметров может обеспечить вакуумное пневмореле, работающее в режиме генератора импульсных сигналов, которое можно реализовать на базе инверсной схемы пульсаторов отечественных аппаратов. Для этого в их конструкцию включается камера переменного подпора p, создаваемого в процессе доения аналоговым сигналом датчика интенсивности молоковыведения и действующего через мембрану дополнительным усилием на стержень мембранно-клапанного механизма пульсатора (рис. 1Б).

Цель – совершенствование доильного аппарата на основе новых знаний по алгоритму функционирования его вакуумного пульсатора.

Переходные характеристики управляющей камеры пульсатора представляют собой восходящую и нисходящую экспоненты и строятся на графике по известным формулам (рис. 1A).

Основным параметром пульсатора является фаза сосания $\lambda = t_1/T_c$, чем она больше, тем продолжительнее такт сосания, тем выше пропускная способность аппарата, а в трехтактном режиме – и тем выше средняя действующая величина вакуума под соском $P_c = \lambda \cdot P$. Поэтому исследователей больше всего интересует именно это: можно ли в процессе доения управлять изменением фазы сосания? Поэтому внимание было обращено на наиболее характерные точки гистерезисных петель – их центры λ и соответствующие им значения по оси ординат. Точкам λ на оси ординат всегда соответствует определенное значение величины вакуума питания P в относительных единицах (о.е.), например, в центре – 0,5, выше – до 0,8, равные значениям фазы сосания λ каждой из рассматриваемых нами гистерезисных петель с отклонением не более $\pm 3\%$. Отсюда был сделан вывод, что параметр λ в относительных единицах (в масштабе P) можно вынести на ось ординат и при расчетах принимать его за основу (рис. 1A).

В результате исследований установлено, что в гистерезисных петлях доильных аппаратов величина λ всегда соответствует среднему значению величины вакуума P_{λ} в относительных единицах, действующего в управляющей камере пульсатора

$$\lambda = P_{\lambda} = \frac{P_{\rm cp} + P_{\rm ot}}{2} \,. \tag{1}$$

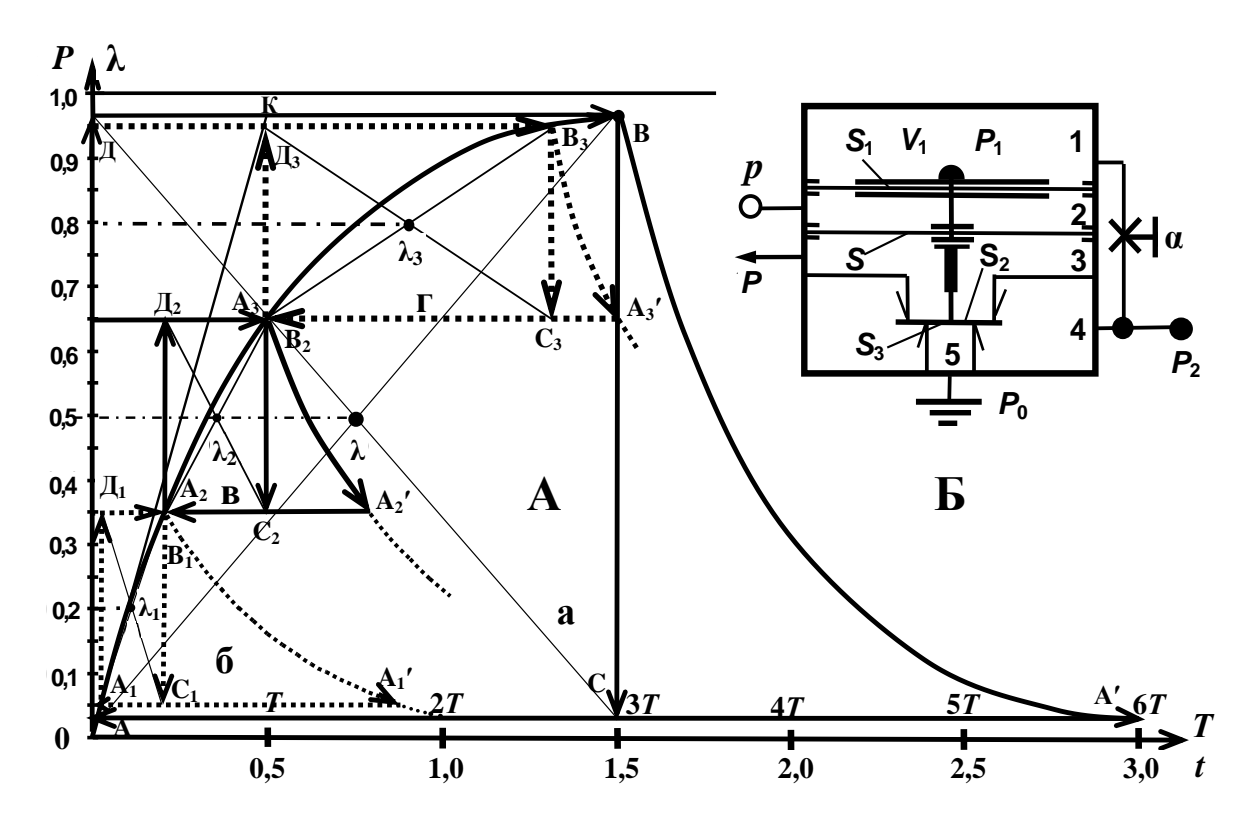


Рис. 1. Различные положения на экспоненте гистерезисных характеристик A (а, б, в, г) управляемого пульсатора Б:

1 — управляющая камера; 2 — камера подпора; 3 — камера постоянного вакуума; 4 — камера переменного вакуума; 5 — камера атмосферного давления; P_1 — величина вакуума в управляющей камере; P_2 — переменный выходной вакуум; p — величина вакуума в управляющей камере подпора; a — проводимость дросселя; a — эффективная площадь мягкой мембраны камеры подпора; a — эффективная площадь мембраны управляющей камеры; a — площадь вакуумного клапана; a — площадь атмосферного клапана

Время цикла пульсатора определяется по известным формулам

$$T_{\rm c} = \frac{1}{f}$$
 , или $T_{\rm c} = t_1 + t_2$,

где f – частота работы пульсатора, Γ ц.

Время такта сосания t_1 определяется из гистерезисной петли по восходящей экспоненте

$$t_1 = T \cdot \ln \frac{1 - P_{\text{ot}}}{1 - P_{\text{cn}}} ,$$

где T- постоянная времени управляющей камеры пульсатора, с. Время такта сжатия t_2 определяется по нисходящей экспоненте

$$t_2 = T \cdot \ln \frac{P_{\rm cp}}{P_{\rm or}} \, .$$

Отсюда время цикла работы пульсатора \mathcal{T}_{c} можно определить и по формулам

$$T_{\rm c} = \frac{t_1}{\lambda}$$
, $T_{\rm c} = T \cdot \ln \left(\frac{P_{\rm cp}}{P_{\rm ot}} \cdot \frac{1 - P_{\rm ot}}{1 - P_{\rm cp}} \right)$.

Анализ графиков рис. 1А подтверждает то, что во всех случаях величина фазы сосания определяется длиной и положением хорды-диагонали с центром λ гистерезисной петли на восходящей экспоненте в координатной плоскости P-t. Это дает основание считать, что с помощью этих графиков можно оптимизировать характеристики и параметры пульсатора по основным его показателям, а именно, по времени такта сосания t_1 , если фазу сосания $\lambda = t_1/T_c$, как и величину

вакуума питания P, в относительных единицах отложить по оси ординат, а по оси абсцисс отложить время в долях постоянной времени T его управляющей камеры (рис. 1A).

Таким образом, все основные характеристики и параметры пульсатора зависят от длины и положения хорды-диагонали с центром λ на восходящей экспоненте переходной характеристики его управляющей камеры, которые и рассматриваются в предлагаемом графоаналитическом методе.

В соответствии со схемой управляемого пульсатора (рис. 1Б) величина вакуума срабатывания определяется по формуле

$$P_{\rm cp} = p \left(1 - \frac{S}{S_1} \right) + P \left(\frac{S - S_3}{S_1} \right).$$
 (2)

Величина вакуума отпускания

$$P_{\text{ot}} = p \left(1 - \frac{S}{S_1} \right) + P \left(\frac{S - S_2}{S_1} \right).$$
 (3)

При p = P уравнения (2) и (3) принимают вид, соответствующий уравнениям для неуправляемых пульсаторов.

Так как высота гистерезисной петли
$$\Delta P = P_{\rm cp} - P_{\rm or}$$
, а $P_{CP} - P_{OT} = P \left(\frac{S_2 - S_3}{S_1} \right) = const$, то при лю-

бом размещении в координатном поле $\Delta P = const$, является ее базой и петля всегда остается «несжимаемой» по высоте.

Из анализа уравнений (2) и (3) следует, что при отсутствии у коровы молокоотдачи (p=0) $P_{\rm cp}$ и $P_{\rm от}$ будут минимальными. Поэтому обязательным условием работоспособности этого пульсатора является то, что площадь мягкой мембраны S должна быть больше площадей каждого из клапанов, т.е. должно соблюдаться неравенство

(4)

Промежуточные значения переменного подпора p обеспечивают плавное изменение параметров пульсатора в процессе доения.

Теоретически численное значение фазы сосания λ можно определить из уравнений (2) и (3), если в выражение (1) подставить значения $P_{\rm cp}$ и $P_{\rm or}$ (в относительных единицах)

$$\lambda = P_{\lambda} = p \left(1 - \frac{S}{S_1} \right) + P \frac{2S - S_2 - S_3}{2S_1}. \tag{5}$$

На основании формул (2), (3), (5) разработана модель управляемого пульсатора, выполненного по схеме рис. 1Б

$$P_{\text{cp}} = \left(1 - \frac{S_3}{S_1}\right)$$

$$P_{\text{ot}} = \left(1 - \frac{S_2}{S_1}\right)$$

$$\lambda = \left(1 - \frac{S_2 + S_3}{2S_1}\right)$$

$$(6)$$

Из математической модели (6) следует, что все члены правых частей ее уравнений, за исключением управляющего сигнала p, есть величины постоянные, а поэтому все параметры и положение в координатном поле гистерезисной петли пульсатора, являющейся алгоритмом его функционирования, зависят только от величины этого сигнала. При p=0 гистерезисная петля занимает самое нижнее положение, а при увеличении сигнала p параметры $P_{\rm cp}$, $P_{\rm от}$ и λ , увеличиваясь всегда на одну и ту же величину, по оси ординат остаются с «несжимаемой» базой $\Delta P = P_{\rm cp} - P_{\rm от} = const.$ При максимальном значении p=P=1 петля занимает самое верхнее положение, но, в соответствии с условием (4), в правой части всех уравнений от 1 всегда отнимаются величины большие, чем прибавляются, поэтому $P_{\rm cp}$ и, тем более, $P_{\rm от}$ и λ , всегда будут меньше единицы, а увеличение фазы сосания объясняется более резким изменением длины и направления хорды-диагонали от

вертикального к горизонтальному положению в верхней части квадранта.

На основе полученных теоретических зависимостей разработана методика инженерного расчёта, позволяющая определять параметры вакуумных пульсаторов стойловых доильных автоматов [4].

Используемый графоаналитический метод позволил установить, что рабочими параметрами пульсатора можно управлять, изменяя положение центра гистерезисной петли в координатном поле переменным подпором, создаваемым в процессе доения аналоговым сигналом датчика интенсивности молоковыведения в дополнительной камере пульсатора.

Эти результаты в основном удовлетворяют предъявляемым выше физиологическим требованиям, обеспечивая плавное изменение соотношения тактов, частоты пульсаций и глубины вакуума под соском в зависимости от интенсивности и фазы молоковыведения от минимума до определенных пределов. Затем, при бурном молоковыведении, до предельных значений скачком за счет перехода аппарата с трехтактного на двухтактный режим работы.

Вакуумные управляемые пульсаторы в процессе доения по сигналам датчиков теоретически могут изменять соотношение тактов от 0.8:1 до 5.7:1; частоту пульсаций в 2.4 раза и величину вакуума под соском от 22.5 до 42.5 кПа при P питания 50 кПа (от 45 до 85%), а затем скачком до максимального значения P питания.

В ходе проведенных экспериментальных исследований установлено, что вакуумные управляемые пульсаторы обеспечивают изменение рабочих параметров в зависимости от уровня управляющего аналогового сигнала датчика в физиологически обоснованном диапазоне.

На основе проведенных исследований создан самоотключающийся доильный автомат, управляемый по сигналам датчика молочного потока, с изменяющимися в процессе доения в зависимости от интенсивности и фазы молоковыведения параметрами, предназначенный для всех типов доильных установок, включая стойловые и пастбищные [5].

Производственная проверка подтвердила эффективность предлагаемого пульсатора в составе стойлового доильного автомата. Установлено, что он стабильно осуществляет процесс доения, обеспечивает быстрое и полное выдаивание, своевременное отключение. При его использовании исключается травмирование вымени вакуумом.

Таким образом, проведенные теоретические и экспериментальные исследования позволили создать управляемый вакуумный пульсатор для стойловых доильных автоматов с изменяющимися в процессе доения в зависимости от интенсивности и фазы молоковыведения параметрами.

ЛИТЕРАТУРА

- 1. Бенова, Е.В. Динамические режимы и параметры вакуумного привода двух-трехтактного доильного аппарата: дис. ... канд. техн. наук. / Е.В.Бенова. Зерноград, 2007. 154 с.
- 2. Винников, И.К. Автоматическое регулирование частоты пульсаций и соотношения тактов доильного аппарата. / И.К.Винников, Т.К.Берендс, В.А.Петровский. / Механизация и электрификация сельскохозяйственного производства. Вып. 24. Зерноград, 1976. С. 128-139.
- 3. Винников, И.К. Технологии, системы и установки для комплексной механизации и автоматизации доения коров. / И.К.Винников, О.Б.Забродина, Л.П.Кормановский. Зерноград, 2001. 354 с.
- 4. Винников, И.К. Расчет параметров пульсатора доильных аппаратов / И.К.Винников, О.Н.Бахчевников. Техника в сельском хозяйстве. 2013. №6. С. 12-14.
- 5. Пат. №2440716 RU A01J 5/00. Двухрежимный доильный аппарат / И.К.Винников, Ю.В. Пахомов, О.Н.Бахчевников, А.В.Коваленко, И.А. Шелушинина. Заявитель и патентообладатель ГНУ СКНИИМЭСХ. №2010108555; заявл. 09.03.2010; опубл. 27.01.2012, Бюл. №3. С. 118-119.

УДК 62-77

МАЛОГАБАРИТНЫЕ ПЕРЕДВИЖНЫЕ СРЕДСТВА ТО И РЕМОНТА МАШИН

Никитченко С.Л., Смыков С.В.

Азово-Черноморская государственная агроинженерная академия. Зерноград. Россия

Необходимость в поддержании работоспособности сельскохозяйственных машин и орудий возникла в России одновременно с началом их производства. Для поддержания технических средств в работоспособном состоянии в сельском хозяйстве была создана ремонтно-обслуживающая база — система ремонтных предприятий и станций технического обслуживания. Для сельскохозяйственных предприятий были разработаны типовые проекты центральных ремонтных